大阪市立大学工学部 正員 工博〇永井在七郎 工修 小田 一紀

1. 緒言

本研究は本州四国連絡橋の超大橋脚の施工時において、橋脚ケーソ ンが周囲の支持構造物(橋脚建造のための erection pier)に固定され ない前に、或いは充分に固定されていない場合に波浪による動揺によ って、 周囲の支持構造物にどの程度の力が働くかを調べるのが目的 である。この研究は大型タン力船などがドルフィンに及ぼす衝撃力の 問題にも共通する。この問題を解決するには、先ず波による浮体の動 提特性について充分な研究が必要である。一般に波浪中の浮体は回転 と差進とを合成した複雑なロッキング運動をし、特に回転運動に対し ては浮体の国有周期と波の周期との関係が重要な問題となるであろう。& しかしここでは才1段階として浮体と支持構造物との間隔が小さくて、点 回転運動が小さい間に支持構造物に衝突すると考え、浮体は主として 並進運動を行って支持構造物に衝突すると仮定して解析を行った。 図-1. 浮体模型おび実験方法 衝撃力の測定方法としては支持構造物として4本の鋼管弾性柱を用 い、これにロードセル(load cells)を取付けて測定した。

次に問題となるのは衝突時に有する浮体の運動量が支持柱の弾 性特性によってどのような衝撃力に変換されるかということである。 この問題についても理論的考察および実験による検討を行った。 2. 実験結果



Smax= 1cm ;5cm

ロードセル

(前)

橋脚ケーソンの底部の模型として図-1に示すように内至2.80m 図-2. 実験状況 外圣 3.20m,高さ 60㎝ の円筒形の鋼板製浮体を用いた。先ず円筒内部の水の影響を除くため底板を 設けた。(以後に述べることはすべて底板を有する浮体についてのことがらである。) 模型の重量は 🍑 = 3210 B, 吃水は ha = 40 cm である。水中におけるローリング 周期は Tr=1.94 sec であった。浮体 は波の進行方向と直角方向の水平軸の周りの運動のみを行い、左右のロードセルにはほとんど力は 働かなかった。ロードセルと浮体との最大間隔は Omax= 5cm および/cmの2種類に変えた。図-2は

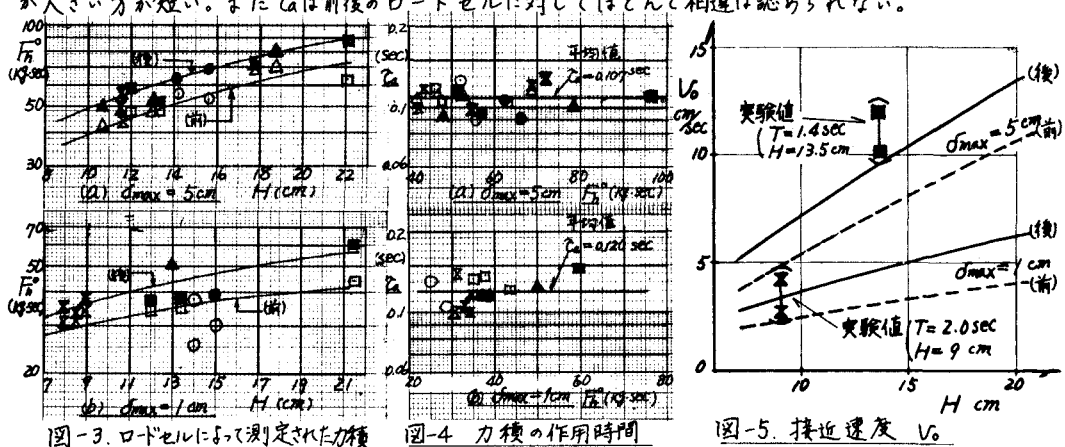
(1) 衝突時に有する浮体の運動量

実験状況を示す。

図-3および図-4はロードセルによって測定された水平方向の力積 15°= 20.16 とその作用時間 Caも示したものである。この力積は浮体の運動を並進運動とし、衝突時のエネルギー損失を無視する (反携保戴 e=1.0)ならば、衝突の前後における運動量の変化 2MV6 (V6:接近速度)に等しい。衝 撃力を測定する位置が浮体の重心を通る水平線から離れすぎると、この関係は修正を要する。力積层 すなわら浮体の衝突時の運動量は波の周期による変化は余り見られず、主として波高によって変化し

ている。また波の進行方向に運動する時の接近速度の方が大きいため、力種は後のロードセルに衝突する場合の方が大きい。浮体とロードセルの最大間隔のmaxが5cmの方が力種は大きい。分が小さいと浮体の速度が大きくならない間に衝突するためであろう。

力種における作用時間ではロードセルの支持柱のバネ定数 K(≒45×103 円m) が一定であれば、Onaxが大きい方が短い。またでは前後のロードセルド対してほとんど相違は認められない。



ロードセルは弾性柱に支持されているため当然ロードセルによる測定値には支持柱の弾性捜みの影響が入る。弾性柱に支持されたロードセルとこれに衝突する物体との間の関係は2自由度のバネ系に衝突する物体の問題として取り扱われる。図においてt=0において質量Mなる物体が速度はで衝突し、t=t,の後に受えざれのバネの質臭の変位をZi, Zi, 衝突物体の速度変比(=zi) とすれば、水

の粘性を無視すれば次の運動方程式が成り立っ。

$$\dot{z} = 0$$
; $\dot{x}_1 = V_a$, $x_1 = 0$, $\dot{x}_2 = 0$, $x_2 = 0$ (3)

(1), (2), (3)式より,ロードセルに相当するバネノの質臭の変位はバネノに固定した座標系においては

$$\chi = \chi_1 - \chi_2 = \frac{V_0}{\beta_r^2 - \beta_z^2} \left(\frac{\beta_r^2 - C}{\beta_r} \sin \beta_r t - \frac{\beta_z^2 - C}{\beta_z} \sin \beta_z t \right) \tag{4}$$

 $\beta^{2} = \frac{1}{2} \left\{ (a+b+c) + \sqrt{(a+b+c)^{2} - 4ac} \right\}, \quad \beta^{2}_{2} = \frac{1}{2} \left\{ (a+b+c) - \sqrt{(a+b+c)^{2} - 4ac} \right\}$ $A = \frac{R_{1}}{m_{1} + M} \approx \frac{R_{1}}{M}, \quad b = \frac{R_{2}}{m_{2}}, \quad C = \frac{R_{2}}{m_{1}}$

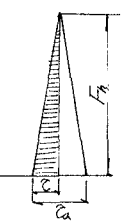
$$\dot{\chi}(c) = 0 \text{ f}$$

$$\frac{\cos \beta_1 c}{\cos \beta_2 c} = \frac{\beta_2^2 - c}{\beta_1^2 - c}$$
(5)

(5)式のでは力績の作用時間での ½ に相当する。(実際はエネルギー損失があるためでは2でよりや>大きくなる)

またバネ1(ロードセル)による反力の力積を求めると

$$\int_{0}^{\tau} K_{i} x dt = M V_{o} \left\{ 1 - \left(1 - \frac{\beta_{i}}{C} \right) \cos \beta_{i} \tau \right\}$$
(6)

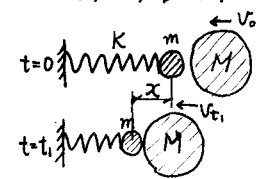


この横分値はロードセルによって測定された力積の半分, 全局 に等しい。 従って、

$$\frac{\frac{1}{2}f_{h}^{\circ}}{MV_{o}} = 1 - \left(1 - \frac{\beta^{*}}{C}\right) \cos \beta_{h} C \tag{7}$$

我々の実験の場合についてこれも検討すると、10月の右辺はほが0.75~0.80になり 尻=至G圧 測定されたた。は2MV。の25~80%であった。従ってこの場合の測定値には補正を 心事とする。

力積の作用時間なは厳密には(5)式より求めなければならないが、ロードセルのバネ定数 R. (≒840 昭/cm) に比べ支持柱のバネ定数 R. (≒4.5×103 昭cm) が非常に小さいので、なは支持柱のバネ定数 に支配されると考えられる。このような場合は1自由度のバネ系(支持社)に質量M, 速度16の物体 が衝突する場合の問題として近似的に取り扱いうる。



運動方程式は水の粘性を無視すれば、支持柱のバネ定数をKとすれば $m\ddot{x} + Kx = \Gamma$

$$m\ddot{x} + Kx = F$$

$$\begin{cases} f_{\bullet} F dt = MV_{\bullet} - (m+M)V_{\bullet}, \\ = MV_{\bullet} - (m+M)\dot{x} \end{cases}$$
(8)

初期条件として t=0: $\dot{X}=U_0$, X=0

(8)式を解いて、 $\dot{\mathbf{\chi}}(c)=0$ より力積の作用時間でも求めると、反挽係数e=1.0の時

$$C_{a} = 2C = \pi \sqrt{\frac{M}{K}}$$
 (9)

実験より QとKも求め、191式より衝突時における浮体の質量 Mも求めると次のようである。

	K	Omax	2	Mo	M	Ma	Ma/Mo	K:支持柱のバネ定数 M:治はの触れ場
	Kå/cm	cm	sec	Kå seckn	Kg seckn	13 section		Mo: 浮体の非水量
4	45×103	5	0.107	3,28	5.21	1.93	0.59	16. 1514 MATTY
	"	/	0.120	3.36	6.56	1.93 3.20	0.95	M:付加質量

M=Mo+Ma : (9)式より求めた値。

この結果によればロードセル と浮体の間隔が小さく、浮体の速度が小さい軽付加質量Mat大きいようである。

図-5は后。=2M以が成り立つとして、1913より求めたMと測定した力積后とより求めたなの値を示す。この計算に用いた力積后は図-3において平均化した値を用いた。この計算結果は写真撮影によって実測した値とほう一致している。

3. あとがき

以上の解析に当っては、浮体の運動する進運動のみに限定して衝突時に有する運動量MVsのすべてか支持柱に働く力種に変換されると仮定している。